

# 三安碳化硅器件在组串式光伏逆变器中的应用优势

# SiC SBD 与 SiC MOSFET 协同优势分析

AN2025-D01 产品简介

作者: 三安半导体 应用工程师 陈赣、姚晨、乐林红

Boost 电路在光伏发电、功率因数矫正、UPS 电源等场合下具有广泛的应用。针对光伏发电领域,组串式逆变器对功率密度与效率需求的持续攀升,三安半导体推出的新型第三代半导体功率器件 1200V/40mΩ SiC MOSFET (AMS120040M2),最大导通电流达 48A,具有高阻断电压、低导通电阻、高开关速度、低电容、低热阻的特性,同时该器件具有极低的开关损耗以及出色的雪崩可靠性;推动光伏系统产品往高效率、高功率密度、高可靠性、高电能质量方向发展。

本文根据产品实测数据,详细对比分析了三安 SiC 器件相较于友商 SiC 器件以及 Si 器件在功率等级最大为 10kW 的 1000V 光伏系统中的性能表现。如表 1 所示,主动开关器件为 Sanan 1200V/40mΩ SiC MOSFET (AMS120040M2) 与友商 A 1200V/40mΩ SiC MOSFET 以及友商 B 1200V/75A Si IGBT, 封装型式均为 TO247-4L; 二极管器件为 Sanan Gen5 1200V/20A SiC SBD (SDS120J020H5) 与友商 B 1200V/30A Si FRD, 封装均为 TO247-2L。

表 1 本文对比分析所采用的规格与试验组合

Test group	Active switching device (TO247-4L)	Boost diode (TO247-2L)	Switching frequency
1	Sanan SiC MOSFET AMS120040M2	Sanan SiC SBD SDS120J020H5	20 kHz 40 kHz 60 kHz
2	Comp.A SiC MOSFET 1200V/40mΩ	Sanan SiC SBD SDS120J020H5	40 kHz
3	Comp.B Si IGBT 1200V/75A	Sanan SiC SBD SDS120J020H5	20 kHz
4	Comp.B Si IGBT 1200V/75A	Comp.B Si FRD 1200V/30A	20 kHz

#### 图 1 为测试所用 Boost 电路拓扑。

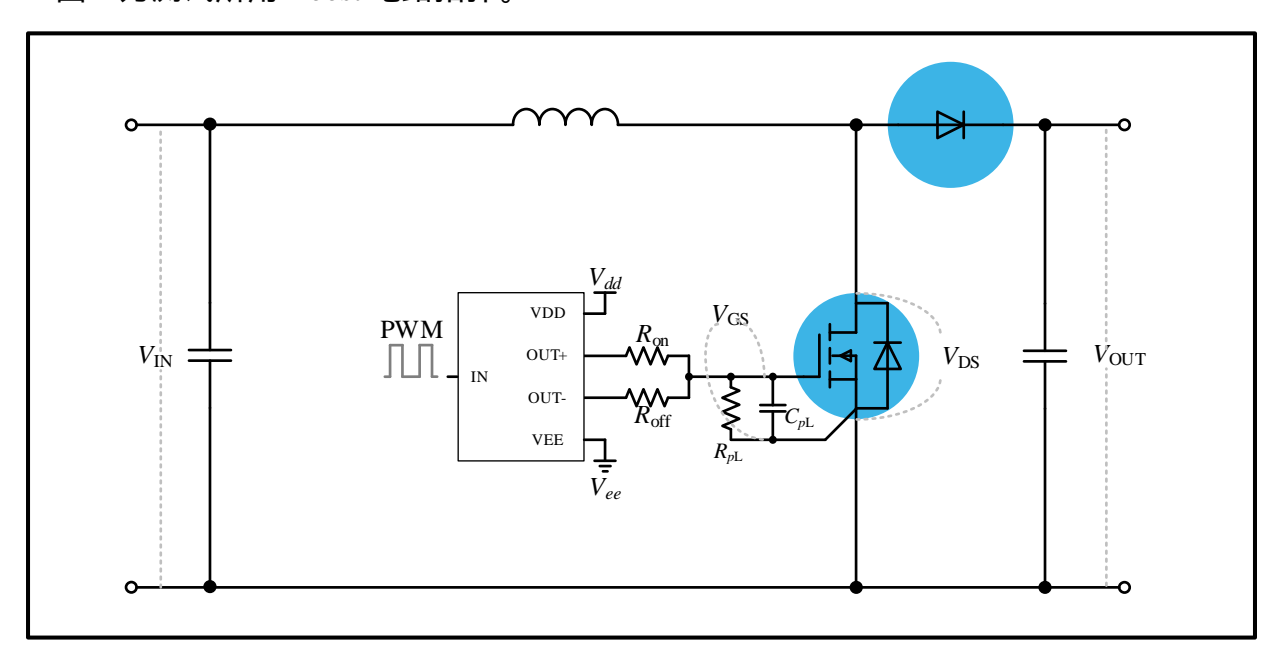


图 1 Boost 电路拓扑

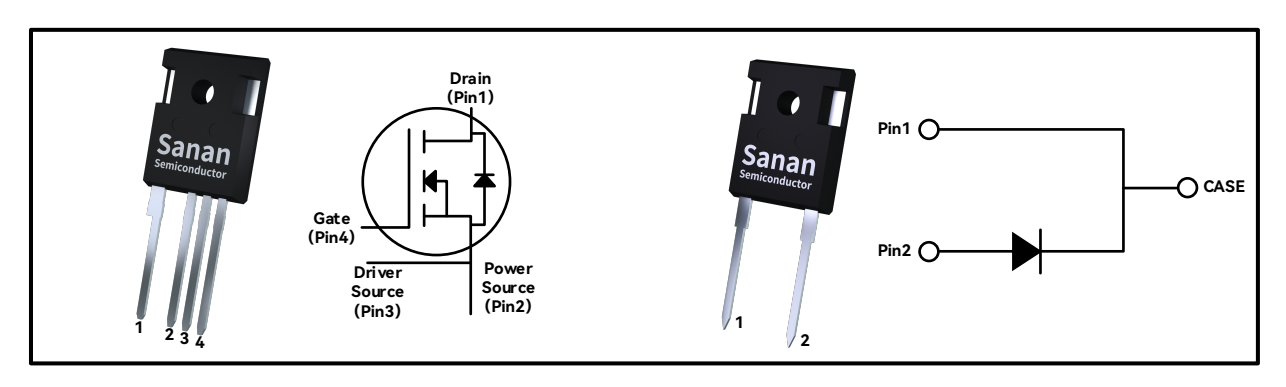


图 2 1200V/40mΩ SiC MOSFET (AMS120040M2) 与 1200V/20A SiC SBD (SDS120J020H5)

## 一、Sanan 功率器件在 Boost 电路中的性能表现

本节测试为实验组一,开关器件选择 Sanan AMS120040M2,二极管器件选择 Sanan SDS120J020H5;直流电压输入  $V_{\rm IN}$ =350V,输出电压  $V_{\rm OUT}$ =650V,电感 L 为 Boost 专用的铁硅铝磁芯电感,感值为 390uH,栅极电压  $V_{\rm GS}$ =+18V/-5V,栅极电阻  $R_{\rm on}$ = $R_{\rm off}$ =2.4 $\Omega$ ,环境温度  $T_{\rm a}$ =22°C,输出功率  $P_{\rm OUT}$ =4kW、6kW、8kW 和 10kW,SiC MOSFET 工作频率 f=20kHz、40kHz 和 60kHz;改变输出功率与工作频率,评估三安碳化硅功率器件在不同工况下的性能表现。

图 3 为工作频率 40kHz,满载输出 10kW 的实际工作波形。图中 CH1 (棕色)为 SiC MOSFET 的  $V_{OS}$  电压,CH2 (浅蓝色)为 SiC MOSFET 的  $V_{DS}$  电压,CH3 (红色)为 SiC MOSFET 的  $I_{DS}$  电流,CH4 (绿色)为输入电压  $V_{IN}$ ,CH5 (橙色)为输出电压  $V_{OUT}$ ,CH6 (深蓝色)为电感电流  $I_{Lo}$ 。波形上显示,开通时间 32ns,关断时间 35ns,器件具有较为优秀的开关表现。





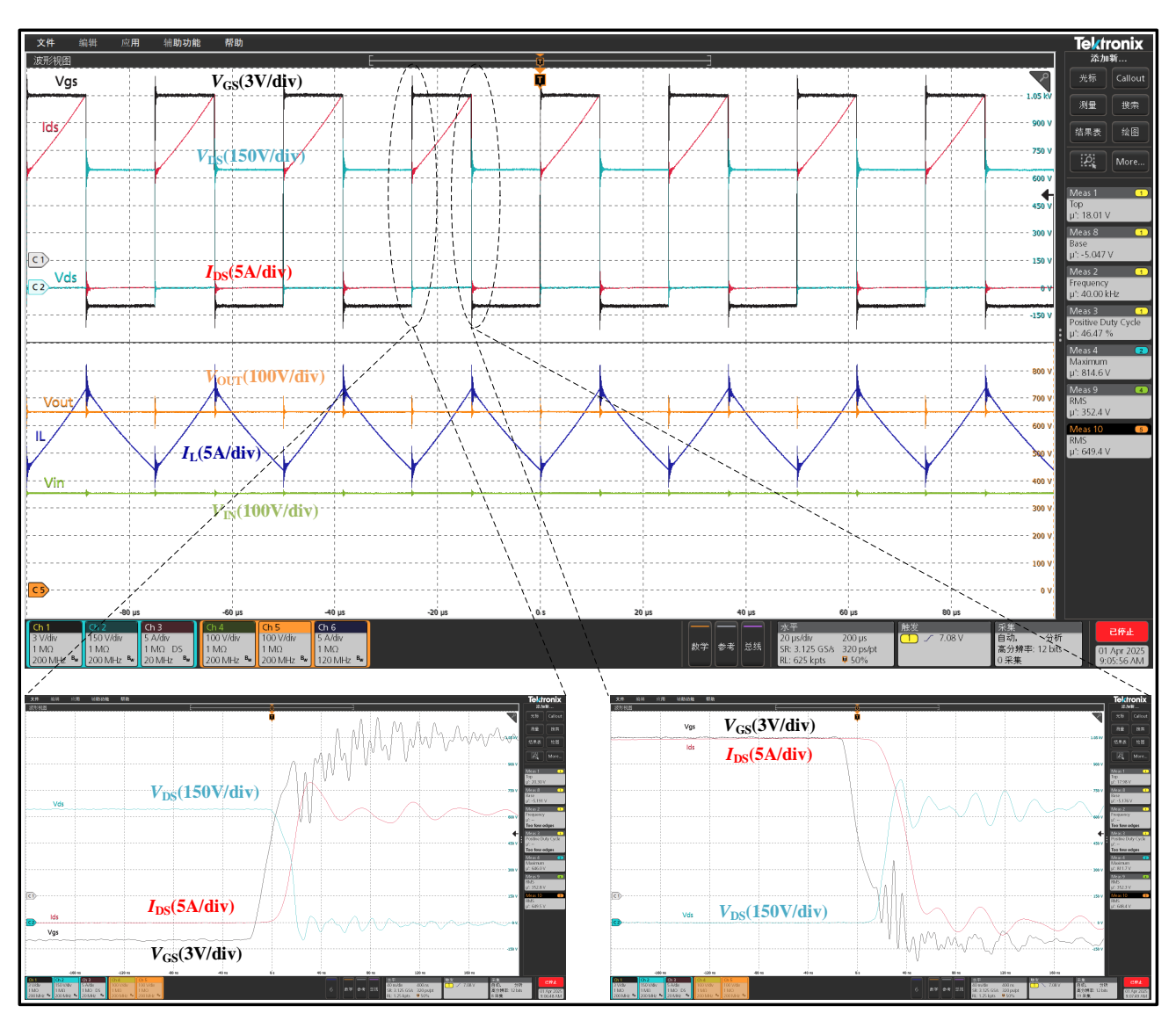
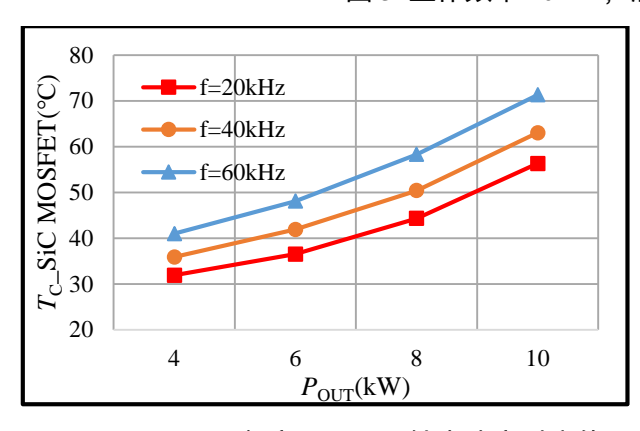


图 3 工作频率 40kHz, 满载输出 10kW 的工作波形



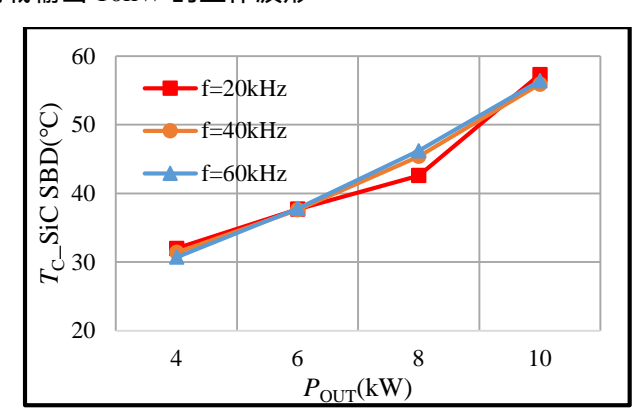


图 4 不同频率下,不同输出功率对应的 SiC MOSFET (左) 与 SiC SBD (右) 温升曲线

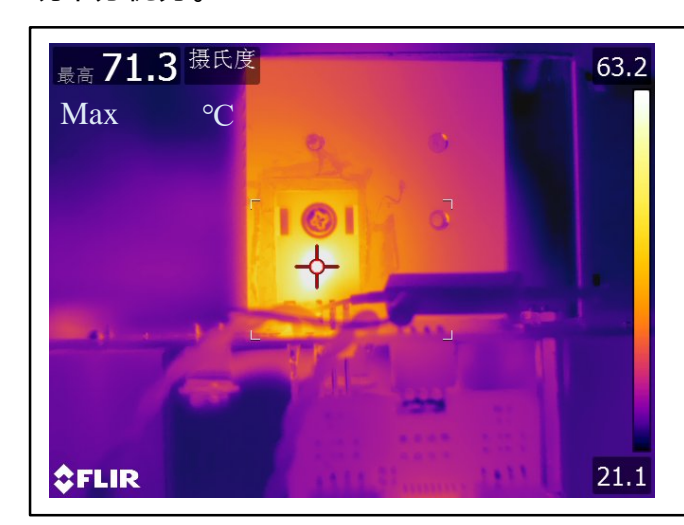
上图 4 所示为 20kHz、40kHz 与 60kHz 工作频率下, SiC MOSFET 与 SiC SBD 不同功率 下的温升曲线,其中本文所述的  $T_{\rm C}$  为器件塑封面表面最高温度。随着输出功率的增大,SiC MOSFET 与 SiC SBD 的温度也在逐步上升;如下图 5 所示,在工作频率 60kHz,满载输出 10kW



distribution, as well as in the event of applications for industrial property rights.



稳定运行下, SiC MOSFET 表面最大温度为  $71.3^{\circ}$ C, SiC SBD 表面最大温度为  $56.4^{\circ}$ C, 温升表现十分优秀。



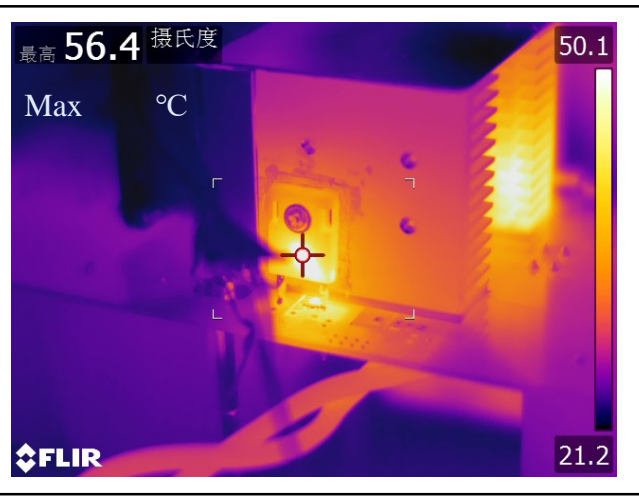


图 5 工作频率 60kHz, 满载输出 10kW 时的 SiC 功率器件温度 (左 SiC MOSFET; 右: SiC SBD)

下图 6 为不同频率下,不同输出功率对应的效率曲线,整机效率均在 98.6%以上; 开关频率从 20kHz 到 60kHz,随着开关频率的增大,整机效率随之升高;效率与输出功率的曲线呈现先增大后减小的趋势,在 6kW 时效率达到最大值。

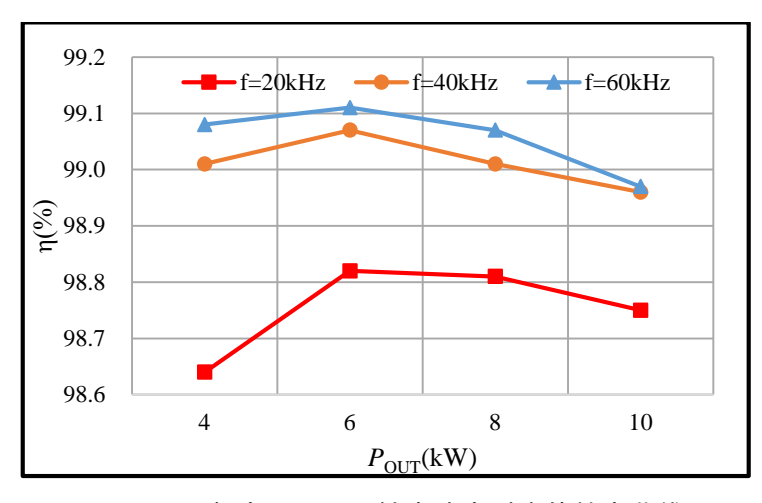


图 6 不同频率下,不同输出功率对应的效率曲线

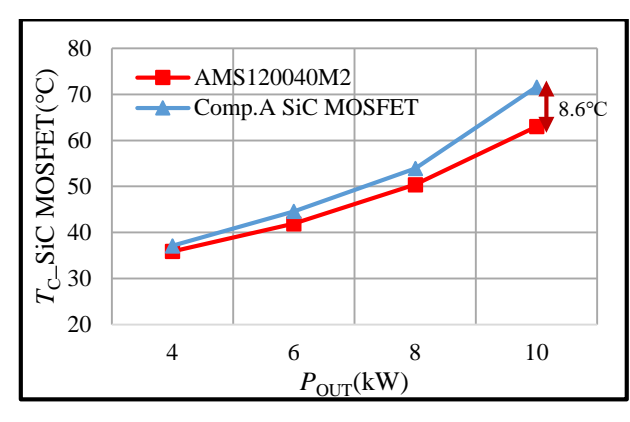
# 二、Comp.A 1200V/40mΩ SiC MOSFET 在 Boost 电路中的性能表现

本节测试为实验组二,主动开关器件选择 Comp.A  $1200V/40m\Omega$  SiC MOSFET,二极管器件选择 Sanan SDS120J020H5; 实验条件与实验组一设置一致,SiC MOSFET 工作频率 f=40kHz,输出功率  $P_{OUT}$ =4kW、6kW、8kW 和 10kW; 通过测试器件温升与整机效率,对比 Sanan SiC MOSFET 与 Comp.A SiC MOSFET 在 Boost 电路中的性能表现。

下图 7 为 Comp.A SiC MOSFET 与 AMS120040M2 在 f=40kHz 工况下对应的不同输出功率的温度曲线(左)与整机效率曲线(右);从整机效率来看,Comp.A SiC MOSFET 和



AMS120040M2 有着相似的表现,即效率与输出功率的曲线呈现先增大后减小的趋势,在 6kW 时效率达到最大值,同时两组的效率差距比较小,差值在 0.05%以内;虽然整机效率基本一致,但是温度曲线来看,AMS120040M2 对比 Comp.A SiC MOSFET 有着明显的优势,在满载 10kW 下,AMS120040M2 器件表面温度比 Comp.A SiC MOSFET 低 8.6%,这是因为 AMS120040M2 的  $R_{th(j-c)}$ 为 0.52%/W,明显低于 Comp.A SiC MOSFET 的  $R_{th(j-c)}$ 为 0.65%/W,这意味着 AMS120040M2 可以在环温更严苛的工况下运行。



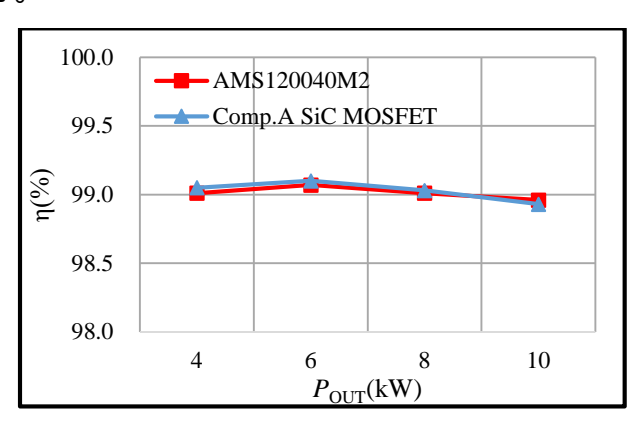
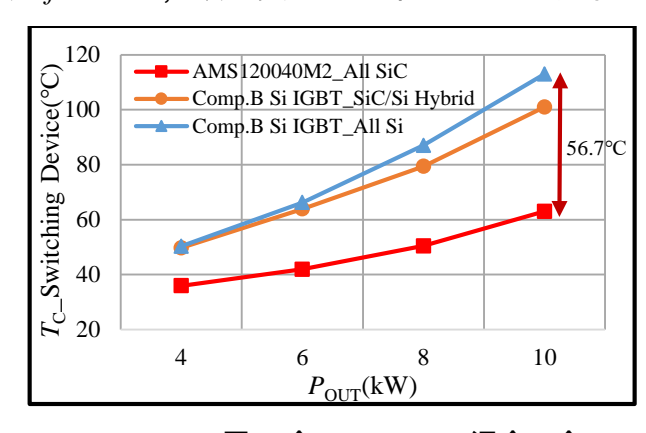


图 7 Sanan 与 Comp.A SiC MOSFET 40kHz 工况下不同输出功率对应的温度曲线(左)与效率曲线(右)

### 三、SiC 相对于 Si 器件在 Boost 电路中的性能优势对比

本节测试为实验组三与四,目的为对比 Si 器件与 SiC 器件在 Boost 电路中的性能表现。其中实验组三为 SiC/Si 混合使用,开关器件选择 Comp.B 1200V/75A Si IGBT,二极管器件选择 Sanan SDS120J020H5;实验组四为全 Si 器件,开关器件依旧选择 Comp.B Si IGBT,二极管器件改为 Comp.B 1200V/30A Si FRD;实验条件与实验组一保持一致,由于 Si IGBT 器件在关断时存在明显的电流拖尾效应,实测开通时长约为 76ns,关断时长更是达到了 240ns 以上,损耗相较于 SiC MOSFET 较高,由于温度的限制,Si IGBT 在本测试装置中仅能承受的开关频率为 f=20kHz,故与实验组一中 20kHz 工况下的数据进行对比。



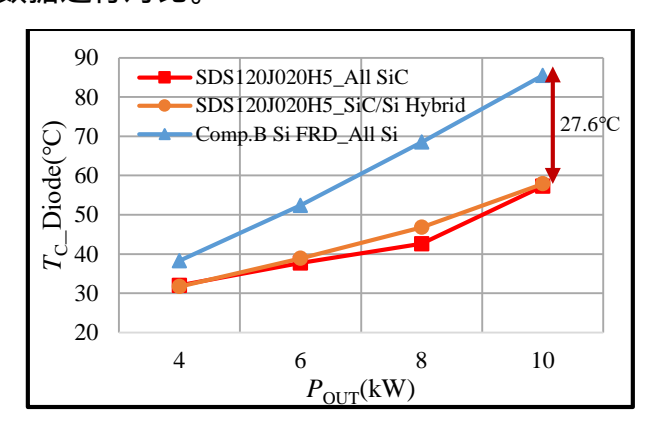


图 8 全 SiC、SiC/Si 混合、全 Si 20kHz 工况下不同输出功率对应的温度曲线

上图 8 为全 SiC、SiC/Si 混合、全 Si 在 20kHz 工况下开关器件(左)和二极管器件(右)不同输出功率对应的的温度曲线;其中全 SiC 为实验组一 f=20kHz 测试数据,开关器件为



AMS120040M2,二极管为 SDS120J020H5; SiC/Si 混合为实验组三; 全 Si 为实验组四。图中可以看出,全功率等级下,温度方面,SiC 器件对比 Si 器件有着明显的优势,SiC/Si 混合工况下,Comp.B Si IGBT 在  $P_{\text{OUT}}=10\text{kW}$  稳定运行时,器件表面温度高达  $101^{\circ}\text{C}$ ,全 Si 工况下,Comp.B Si IGBT 在 10kW 稳定运行时的表面温度更是高达  $113^{\circ}\text{C}$ ,远超全 SiC 工况下 AMS120040M2的  $56.3^{\circ}\text{C}$ ;同时二极管器件 SiC SBD 对比 Si FRD 也有着明显的优势,10kW 满载工况下,Comp.B Si FRD 温度高达  $85.5^{\circ}\text{C}$ ,远超同样条件下的 SDS120J020H5  $57.9^{\circ}\text{C}$ 。

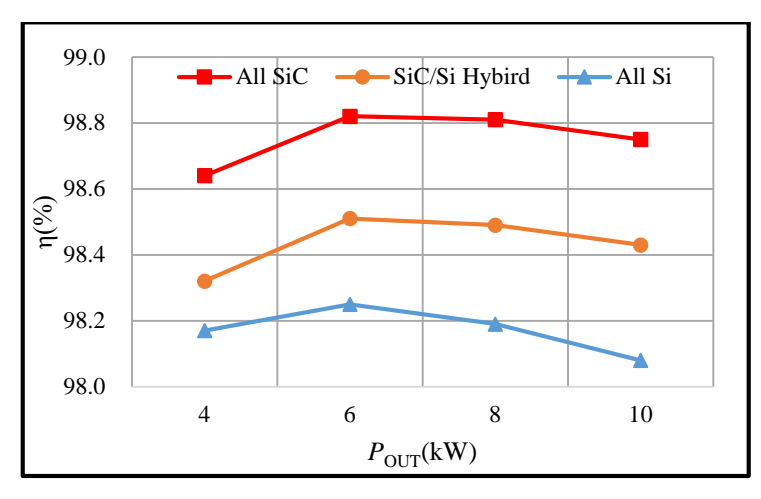


图 9 全 SiC、SiC/Si 混合、全 Si 20kHz 工况下不同输出功率对应的效率曲线

上图 9 为全 SiC、SiC/Si 混合、全 Si 20kHz 工况下不同输出功率对应的效率曲线,从整机效率来看,10kW 满载工况下,全 SiC 工况比 SiC/Si 混和工况效率高 0.32%,这两个工况下,二极管器件均为 SDS120J020H5,且温度基本一致,说明该条件下,1200V/75A Si IGBT 的损耗比 AMS120040M2 损耗高 32W 左右。同理,满载时 SiC/Si 混合工况比全 Si 工况效率高 0.25%,这两个工况下,开关器件均为 1200V/75A Si IGBT,前者 IGBT 温度低约  $10^{\circ}$ C,说明该条件下,1200V/30A Si FRD 的损耗比 SDS120J020H5 损耗高约 20W 左右。

#### 四、总结

本文测试了 Sanan  $1200V/40m\Omega$  SiC MOSFET 与 1200V/20A SiC SBD 在 Boost 中不同工况下的性能表现,器件均表现良好;同时对比了 Comp.A  $1200V/40m\Omega$  SiC MOSFET 在该电路下的性能,效率方面两者相差较小,温升方面 Sanan SiC MOSFET 比 Comp.A 具有一定的优势;此外还对比了传统 Si 器件在 Boost 应用中的性能表现,实验结果表明 SiC 器件对比 Si 器件在温升和效率方面都有着很大的优势。

三安半导体在 SiC 功率器件的技术革新上深耕研发,不断迭代优化器件性能,致力于提供满足客户各类需求的优质产品。三安半导体 AMS120040M2 与 SDS120J020H5 的优异性能将助力 SiC 器件在光伏发电领域的大规模应用。

